

05.4; 11; 12

© 1991

ПОЛЕВОЕ ИСПАРЕНИЕ МОНОКРИСТАЛЛА
 $\text{Bi}_2\text{Sr}_2\text{Ca}_2\text{Cu}_3\text{O}_y$

Ю.А. Власов, О.Л. Голубев,
 Е.Л. Конторович, В.Н. Шредник

Полевое испарение монокристаллов типа (1:2:3) на основе Eu , Tb и Sm [1, 2] обнаружило заметное усиление пиков некоторых ионов, происходящих из решетки кристалла, при охлаждении образца от комнатной температуры T до T_c , несколько превышающей T жидкого азота. Отметим, что исходя из представлений о полевом испарении металлов [3], следовало ожидать резкого ослабления интенсивности полевого испарения с понижением T . Представляло интерес исследовать этот эффект на примере другого класса веществ, отличающихся высокотемпературной сверхпроводимостью (ВТСП). В данной работе исследовался монокристалл $\text{Bi}_2\text{Sr}_2\text{Ca}_2\text{Cu}_3\text{O}_y$ (где $y \approx 10.5$) с T_c около 85 К.

Эксперименты проводились в широкоугольном атомном зонде, позволявшем, кроме получения масс-спектров, наблюдать изображение поверхности с атомным разрешением. Техника подготовки образца была аналогична описанной в [4], а методика получения единичных и интегральных спектров изложена в [1]. Напомним, что единичный спектр определяется набором ионов, пришедших на детектор в результате воздействия одного испаряющего импульса. Обычно этот набор содержал один, реже два вида ионов. Элементарные пики единичного спектра характеризуются определенным временем проплета τ_i и амплитудой сигнала A_i (i отвечает виду ионов). Поскольку пики единичных спектров могут соответствовать случайным сигналам и отличаться значительным статистическим разбросом своих параметров, результат того или иного режима полевого испарения достоверно определяется интегральным спектром (рис. 1 и 2). Такой спектр является суммой достаточно большого количества единичных спектров. Иными словами, он должен содержать большое число событий – элементарных пиков, полученных в единичных спектрах. При сложении единичных спектров времена τ_i берутся с их погрешностями $\pm \Delta \tau_i$ (т.е. единичные пики рассматриваются как прямоугольники). Неизбежно большие $\Delta \tau_i$ приводят к тому, что в интегральных спектрах часть информации теряется (они слишком грубы) и, кроме того, перекрытие ближайших пиков может породить ложные пики. Чтобы избежать ошибок при идентификации ионов, строились также „линейчатые“ интегральные спектры с нарочито уменьшенной погрешностью $\Delta \tau_i$ (рис. 3), исключавшей перекрытие. Лучшей идентификации способствовало вычисление

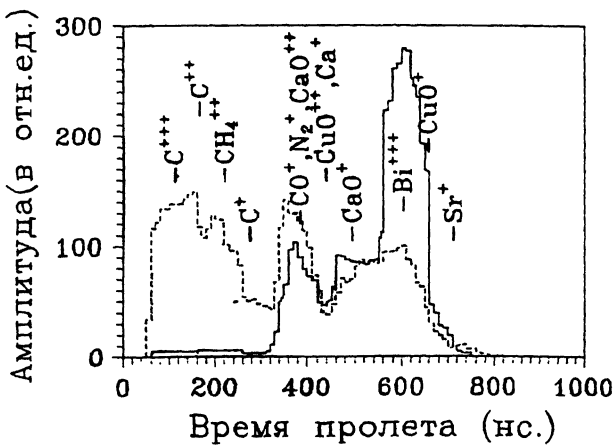


Рис. 1. Интегральные спектры полевого испарения (и полевой десорбции) монокристалла $\text{Bi}_2\text{Sr}_2\text{Ca}_2\text{Cu}_3\text{O}_{10.5}$, полученные при охлаждении образца жидким азотом (пунктир, спектр I) и твердым азотом (сплошная линия, спектр II). В обоих случаях $V = V_0 + \Delta V = 8.5 + 1.5 = 10$ кВ. Спектры содержат I – 195 и II – 260 событий. Получение спектра I предшествовало получению спектра II.

средних амплитуд \bar{A} в линейчатых спектрах для каждой линии. Поскольку A_i для отдельного единичного иона определяется числом одновременно пришедших ионов и эффективностью сигнала, вырабатываемого микроканальным детектором, A_i при достаточной статистике является неплохой вспомогательной характеристикой вида ионов, особенно, если линия в спектре типа рис. 3 набирается из сигналов от ионов одного типа (что нетрудно заметить по примерному постоянству \bar{A}_i соседних линий). Использование обычных (рис. 1, 2) и линейчатых (рис. 3) интегральных спектров, наряду с анализом „цепочек” ионов [1] (т.е. пар разных ионов, детектируемых одновременно) делало идентификацию ионов более точной и надежной.

Наряду с исследованием температурной зависимости интенсивности полевого испарения в экспериментах с атомным зондом были изучены некоторые иные особенности процессов полевого испарения и полевой десорбции с кристалла $\text{Bi}_2\text{Sr}_2\text{Ca}_2\text{Cu}_3\text{O}_{10.5}$. Опыты начинались с наблюдения полевых ионных изображений при наименьших возможных напряжениях (V). После этого изображающий газ (азот) откачивался, и в вакууме (10^{-8} – 10^{-9} Тор) переходили к работе в режиме атомного зонда (детали аналогичны [1]). Базовое напряжение V_0 от опыта к опыту повышалось (начиная от 6 кВ до 8.5 кВ через 0.5 кВ), импульсное напряжение ΔV составляло всегда 1.5 кВ. В ножку с вводами, к которым крепился образец,

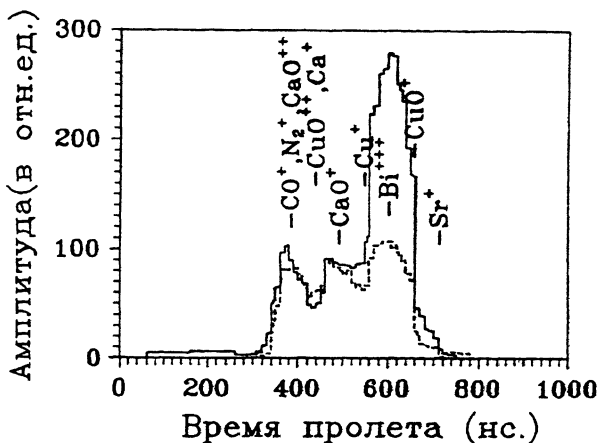


Рис. 2. Спектр II предыдущего рисунка в сравнении со спектром Ш (пунктир), полученным после перехода азота, охлаждающего образец, из твердого в жидкое состояние. V — то же. Число событий в спектре III — 151.

заливался жидкий азот. Откачивая азот, можно было перевести его в твердое состояние.

Спектр с наименьшим $V = V_0 + \Delta V$ (7.5 кВ) обнаружил наряду с ионами адсорбированных загрязнений: воды и ее производных, ионы CH_4^{++} , Ca^{++} и однозарядные ионы Ca^+ , CaO^+ , Sr^+ . С повышением V появились ионы с массой m , равной 28 (CO^+ , N_2^+ , CaO^{++}), а также ионы Sr^{++} , Bi^{+++} , Cu^+ , CuO^+ . Нередко в легкой фракции наблюдались массы 4, 6, 12 (возможно: C^{++} , C^{++} , C^+), углерод — весьма вероятная примесь в кристаллах ВТСП). Обычно хорошо обосновленный пик $m=28$ мог служить надежным репером при анализе спектров.

После достаточной очистки острия полевым испарением был проведен опыт (при суммарном $V=10$ кВ) с изменением Т острия от Т жидкого до Т твердого азота (плюс некоторая ΔT , обусловленная нагревом за счет излучения стенок камеры атомного зонда, находящейся при комнатной Т). Рис. 1 и 2 демонстрируют спектр II (сплошная линия), полученный при твердом азоте в ножке в сравнении со спектрами I и III (пунктир), когда в ножку был залит жидкий азот. При этом спектр I был получен до откачки жидкого азота, а спектр III после перехода азота снова в жидкое состояние. Относительное возрастание пика ионов Bi^{+++} (возможно с примесью Cu^+ и CuO^+) при охлаждении проявляется достаточно убедительно.

Расшифровка пиков, произведенная с построением линейчатых спектров для всех трех случаев, подтверждают приводимую иденти-

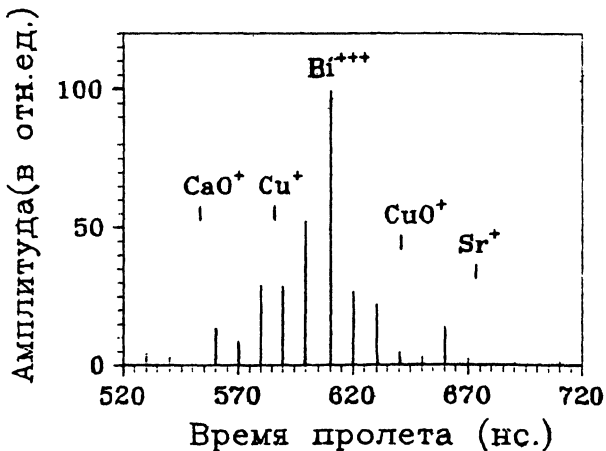


Рис. 3. Участок линейчатого интегрального спектра, соответствующего спектру II предыдущих рисунков.

ификацию. В качестве примера на рис. 3 показана часть линейчатого спектра, соответствующего спектру II. А, отвечающие линиям с $\tau \approx$ 580, 590, 600, 610, 620 и 630 нс, соответственно составляют: 2.4, 2.05, 1.8, 2.3, 2.2, 1.6 отн. единиц, из чего следует, что линии от 580 до 610 скорее всего построены из сигналов от ионов преимущественно одного типа (Bi^{+++}). Заметим, что А в районе $m=28$ (от $\tau \approx 370$ до 410) составляла другой довольно стабильный ряд: 1.6; 1.6; 1.2; 1.6 и 1.5 отн. единиц.

При охлаждении образца твердым азотом Т кристалла, по-видимому, оказывалась ниже T_c . Вполне вероятно, что при жидким азоте в ножке Т кристалла была выше T_c . Вполне вероятно, что при жидким азоте в ножке Т кристалла была выше T_c . ($T_c \approx 85$ К). Ионы Bi^{+++} (а также Cu^+ , CuO^+) происходят из решетки кристалла. Анализ цепочек ионов показывает, что в спектре II большинство ионов пика 610 нс приходят в одиночку, а в спектрах I и III в паре с более легким ионом. Все это позволяет предположить, что при охлаждении ниже T_c в кристалле (2223) ослабляются связи атомов Bi с решеткой, либо заметно увеличивается амплитуда их колебаний (подобно случаю с кислородом, рассмотренному в [2]). Гипотеза активированного полевого испарения, связанного с влиянием адсорбированной примеси, менее вероятна, т. к. уже при охлаждении жидким азотом такая примесь должна присутствовать в достаточном количестве. В равной мере маловероятной представляется идея десорбции в наблюдаемом пике 610 нс полимера воды $3H_2O \cdot H_3O^+$ с $m=73$, близкой к массе $Bi^{+++} - 69.7$. В спектрах I-Ш нет ярко выраженных пиков H_3O^+ , $H_2O \cdot H_3O^+$, и, кроме того, не ясен механизм возрастания такого пика, если бы он присутствовал, с переходом от Т жидкого к Т твердого азота.

В заключение авторы приносят благодарность М.В. Красиньковой за предоставленный материал (2223) и Т.И. Судаковой за приготовление острый.

Работа выполнена в рамках общесоюзной государственной программы по ВТСП, проект № 349.

Список литературы

- [1] Власов Ю.А., Голубев О.Л., Сюткин Н.Н., Таланцев Е.Ф., Шредник В.Н. // ЖТФ. 1990. Т. 60. В. 10. С. 159-163.
- [2] Блашенков Н.М., Лаврентьев Г.Я., Шредник В.Н. // Письма в ЖТФ. 1991 (в печати).
- [3] Мюллер Э.В., Чонг Т.Т. Полевая ионная микроскопия, полевая ионизация и полевое испарение. М.: Наука, 1980.
- [4] Власов Ю.А., Голубев О.Л., Самохвалов Н.А., Сюткин Н.Н., Таланцев Е.Ф., Чеботаев Н.М., Шредник В.Н. // Письма в ЖТФ. 1989. Т. 15. В. 16. С. 62-67.

Физико-технический
институт им. А.Ф. Иоффе
АН СССР,
С.-Петербург

Поступило в Редакцию
2 декабря 1991 г.